

## 역상 이온 크로마토그래피에서 무기음이온의 분리

趙諱秀<sup>†</sup> · 嚴泰允 · 金承洙 · 金演斗<sup>\*</sup>

한국 에너지 연구소

<sup>\*</sup>충남대학교 이과대학 화학과

(1988. 3. 16 접수)

## Separation of Inorganic Anions by Reversed-phase Ion Chromatography

Kih Soo Joe<sup>†</sup>, Tae Yoon Eom, Seung Soo Kim, and Youn Doo Kim<sup>\*</sup>

Korea Advanced Energy Research Institute Chungnam, Dae Jeon 302-353, Korea

<sup>\*</sup>Department of Chemistry, Chungnam National University,

Dae Jeon 302-764, Korea

(Received March 16, 1988)

**요 약.** PRP-1 역상 충전제에 Cetylpyridinium Chloride 를 흡착한 흡착분리관과 Tetrabutylammonium 을 이온상호작용제로 사용하는 동적계에서  $\text{BF}_4^-$ 를 포함하는 무기음이온들의 크기 인자( $k'$ )를 측정하였다. 용리액의 농도, pH 변화에 따라 이들 이온들의 분리조건을 검토한 후 폐기물 시료중 붕소정량에 적용하였다.

**ABSTRACT.** Capacity factors ( $k'$ ) of some inorganic anions including  $\text{BF}_4^-$  were measured on cetylpyridinium coated column, and with dynamic system using tetrabutylammonium salicylate on PRP-1 reversed-phase column, respectively. After optimum separation condition was obtained this method was applied to the determination of boron in some different type samples.

### 서 론

Styrene divinyl benzene(S/DVB) 수지 또는 실리카 형태의 역상 분리관에서 전기전도도 검출, UV/VIS 검출, 굴절율검출 및 전기화학적 검출방법으로 무기음이온들을 분리정량하는 데 이온크로마토그래피가 이용되어 왔다<sup>1~8</sup>.

이들 분리방법은 역상에 이온쌍 형성제를 영구적으로 흡착시키거나 또는 동적계형태로 이용하고 있으며 대부분의 무기음이온들이 pH가 높은 용액에서 안정하므로 실리카보다 S/DVB수지의 역상이 더 바람직하다. 특히 이와 같은 시스템은 다공성 이온교환수지에 비하여 분리효율이 높을뿐 아니라 분리관 용량을 쉽게 변화시킬 수 있으므로 그 응용이 증대되고 있다<sup>1,2</sup>.

Quarternary alkyl ammonium 을 이온상호작용

제로 사용하여 무기음이온들의 분리거동을 연구한 보고들이 있지만<sup>1~8</sup>  $\text{BF}_4^-$ 에 대한 예는 없으며 또 음이온 교환수지에서 붕산을 흡착농축시킨 후  $\text{BF}_4^-$  형태로 분리하여 붕소를 정량하는 방법도<sup>9</sup> 있으나 이 경우에는 탄산나트륨용액에 대한 이온억제제를 사용하여 전기전도도 측정을 하여야 한다.

따라서 본연구에서는 붕소정량을 위해 전기전도도 측정법으로 이온크로마토그래피를 적용하였으며 PRP-1 역상분리관에 Cetylpyridinium Chloride(CPC)를 흡착시킨 경우와 Tetrabutyl ammonium 을 이온상호 작용제로 사용하는 두 가지 방법으로  $\text{BF}_4^-$ 를 포함하는 주요 무기음이온들의 분리거동을 조사하였다. 두 경우 모두 낮은 이온교환용량에서 낮은 전기 전도도를 갖는 용리액을 사용하므로 이온억제제없이(Single

column system) 전기전도도 검출법이 가능하였다. 붕소를 함유하는 시료에 과량의 HF를 가하여  $\text{BF}_4^-$ 로 만든 후 이온크로마토그래피를 하므로 그 방법이 매우 간편하고 정량한계도 낮아 미량의 붕소정량에 이 시스템을 적용하고자 한다.

## 실 험

기기 및 시약. 기기로는 Waters Associates의 M 6000 Solvent delivery pump 및 ILC-1 system, WESCAN 213 A conductivity detector, Waters Associates의 M 430 conductivity detector와 Spectra Physics의 SP 4270 integrator를 각각 사용하였다. 역상분리관으로는 Polystyrene divinyl benzene 수지계인  $5\mu\text{m}$ 의 PRP-1( $15 \times 0.4$  1cm, Hamiltonian)을 사용하였다.

실험에 사용한 증류수는 Milli-Q system을 통과한 3차 증류수였고 HPLC grade의 Acetonitrile(AN)(Fisher Co.), Cetylpyridinium Chloride(CPC)(Aldrich Co), Tetramethylammonium Hydroxide(Fisher Co), Tetrabutylammonium Hydroxide(Fisher Co) 및 Salicylic Acid(Fisher Co)를 각각 사용하였다.  $\text{NaBF}_4$  표준물 및 Boric Acid는 Aldrich Co.의 GR급을 각각 사용하였다.

**실험.** 흡착분리관을 만들기 위해 1% 정도의  $5 \times 10^{-4}\text{M}$  Cetylpyridinium 용액(20% AN)을  $0.8\text{ ml/min}$ . 유속으로 역상분리관을 통과시킨 후 다시  $300\text{ ml}$  정도의  $5 \times 10^{-4}\text{M}$ 의 Tetramethylammonium Salicylate( $\text{TMA}^+\text{SAL}^-$ ) 용리액을 통과시켰다<sup>2</sup>. 용리액의 농도 및 pH 변화에 따라 음이온들의 분리 조건을 조사하였다.

또 흡착분리관과는 별도로 PRP-1 역상분리관에서 Tetrabutylammonium Salicylate( $\text{TBA}^+\text{SAL}^-$ )의 농도 및 pH 변화에 따라 각 이온들의 머무름을 측정하므로써 동적계(dynamic system)에서 분리거동을 조사하였다. 용리액으로 사용한  $\text{TMA}^+\text{SAL}^-$ 와  $\text{TBA}^+\text{SAL}^-$  용액은 두 종류의 산 염기를 각각 pH 적정을 하여 만들어졌다.

**붕소 정량.** 시료용액일정량( $\sim 30\text{ mg}$  Boron)을 테프론 비커에 옮기고 열판위에서 서서히 가

열하여 소량( $\sim 0.5\text{ ml}$ )으로 농축시킨 후 진한 HF를 충분히( $\sim 3\text{ ml}$ ) 가하고 15분간 방치하여  $\text{H}_3\text{BO}_3$ 를  $\text{BF}_4^-$ 로 바꾸었다<sup>10</sup>. 용액을 냉각시킨 후 진한  $\text{NH}_4\text{OH}$ ( $\sim 6\text{ ml}$ )를 서서히 가하여 여분의 HF를 중화시켰다. 다시 이 용액을 일정 부피로 희석한 후 이온크로마토그래피를 수행하여  $\text{BF}_4^-$ 를 정량하였다.

## 결과 및 고찰

**Cetylpyridinium Chloride 흡착분리관.**  $5 \times 10^{-4}\text{M}$  CPC 용액(20% AN)를 PRP-1 역상분리관에 흡착시켰으며  $\text{TMA}^+\text{SAL}^-$  용리액으로 음이온의 머무른 시간(retention time)을 측정하여 분리관의 교환능(ion exchange capacity)를 확인하였다. CPC는 구조가 Styrene/Divinyl Benzene 구조와 유사하며 또 PRP-1이  $\text{C}_{18}$  분리관보다 pH 변화에 안정하므로 PRP-1을 흡착용 분리관으로 선택하였다<sup>6</sup>. CPC가 흡착된 분리관은 1%의 용리액을 통과시킬 때까지 안정한 것으로 나타났으며 실험에 사용한 전용리액의 전도도를  $20 \sim 30\mu\text{Scm}^{-1}$ 으로 조절하였다. 또한  $\text{TMA}^+\text{SAL}^-$ 이 낮은 전기전도도를 유지할 뿐 아니라 Salicylate 역시 다른 음이온들의 머무름을 조절할 수 있으므로 전기전도도 검출법에서 용리액으로 사용하였다.

$\text{BF}_4^-$ 를 포함하는 주요음이온들의 크기 인자( $k'$ )를  $\text{TMA}^+\text{SAL}^-$ 의 농도변화에 따라 나타낸 결과(Fig. 1)  $\text{BF}_4^-$ 가 대단히 큰 흡착력을 보이는데 이것은  $\text{BF}_4^-$ 가 큰 소수성(hydrophobicity)를 가지고 있기 때문으로 생각된다.

용리액의 농도 변화에 따른  $k'$ 들은 거의 같은 경향을 보였으나  $7 \times 10^{-4}\text{M}$  근처에서  $\text{SO}_4^{2-}$ 와  $\text{I}^-$ 가 서로 교차되었다. 이것은  $\text{SO}_4^{2-}$ 가 용리액농도증가에 따라 다른 음이온들보다 용리액과의 정전기적 상호작용이 비극성고정상에 대한 친유성 상호작용보다 크기 때문이라는 보고<sup>11</sup>가 있지만 정량적인 설명은 되지 않고 있다.

$\text{BF}_4^-$ 만을 순수하게 분리하기 위해서는 용리액의 농도를  $6 \times 10^{-4}\text{M}$  이상 유지하는 것이 바람직하며 이 농도에서  $\text{BF}_4^-$ 를 제외한 다른 이온들의  $k'$ 은 10이하(effective capacity factor)로 되

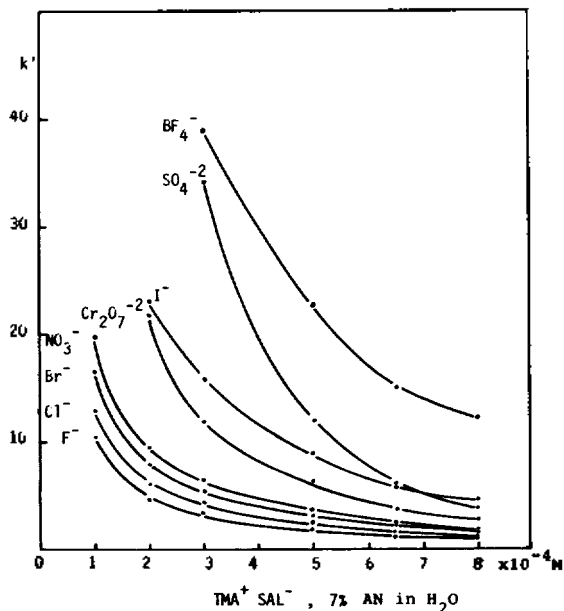


Fig. 1. Variation of capacity factors as a function of eluent concentration-column,  $5\ \mu\text{m}$  PRP-1 ( $15 \times 0.41\text{cm}$ ) coated with cetylpyridinium-eluent,  $5 \times 10^{-4}\text{M}$  TMA<sup>+</sup>SAL<sup>-</sup> pH 5.75 in 7% AN in H<sub>2</sub>O-flow rate, 1.0 ml/min. column temp., 22°C-sample, 20 $\mu$ l injected.

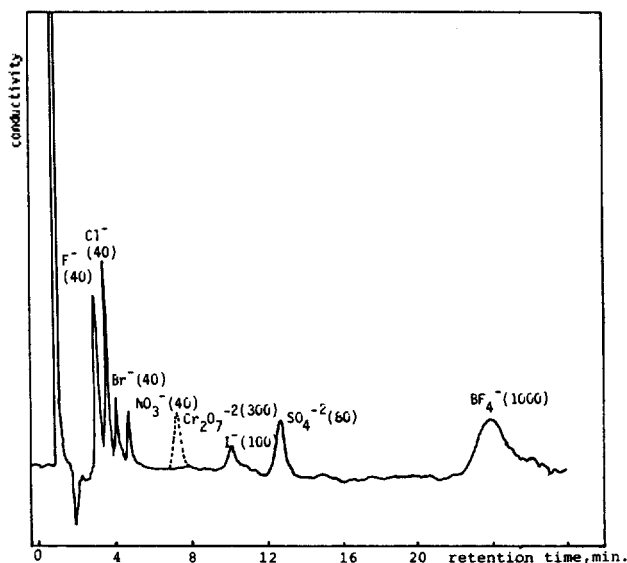


Fig. 2. Chromatogram of inorganic anions on coated column-column,  $5\ \mu\text{m}$  PRP-1 ( $15 \times 0.41\text{cm}$ ) coated with cetylpyridinium-eluent,  $5 \times 10^{-4}\text{M}$  TMA<sup>+</sup>SAL<sup>-</sup> pH 5.8, 7% AN in water-flow rate, 1.0 ml/min. detection, conductivity-sample injection, 20 $\mu$ l-numbers in bracket, ng injected.

고 있다. 그리고 용리액에 7%의 AN을 가한 것은 소수성의 고정상(S/DVB)을 적셔주는 효과(wetting effect)로 분리 효율을 높여주는 것으로 설명되고 있다.<sup>1</sup>

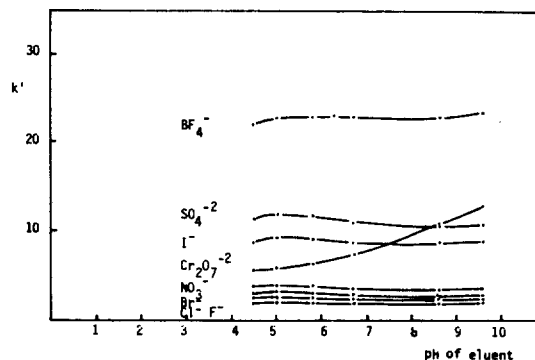


Fig. 3. Dependence of capacity factors on the pH of eluent-column,  $5\ \mu\text{m}$  PRP-1 ( $15 \times 0.41\text{cm}$ ) coated with cetylpyridinium eluent,  $5 \times 10^{-4}\text{M}$  TMA<sup>+</sup>SAL<sup>-</sup> in 7% AN in H<sub>2</sub>O-flow rate, 1.0 ml/min. column temp., 22°C.

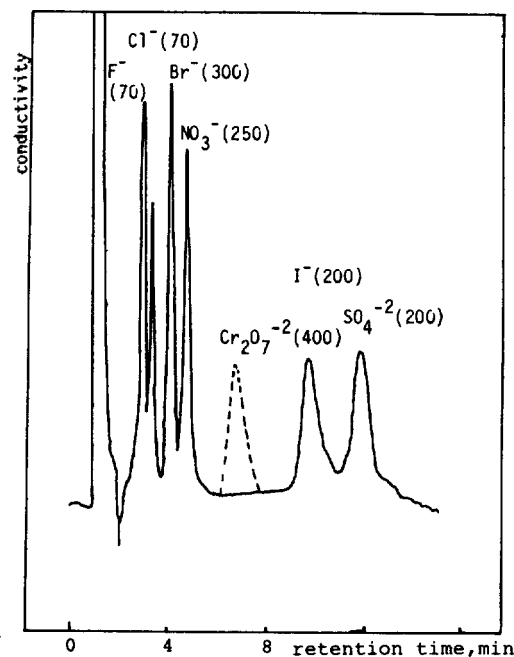


Fig. 4. Chromatogram of inorganic anions-column,  $5\ \mu\text{m}$  PRP-1 ( $15 \times 0.41\text{cm}$ ) coated with cetylpyridinium-eluent,  $5 \times 10^{-4}\text{M}$  TMA<sup>+</sup>SAL<sup>-</sup>, pH 4.5, 7% AN in H<sub>2</sub>O-flow rate, 1.0 ml/min. column temp., 22°C-detection, conductivity-sample injection, 20 $\mu$ l-numbers in bracket, ng injected.

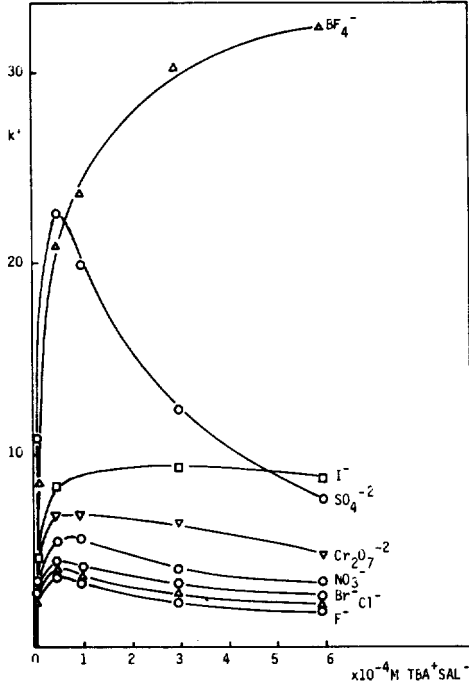


Fig. 5. Capacity factors as a function of TBA+SAL<sup>-</sup> concentration with ion interaction system-column, 5 μm PRP-1(15×0.41cm)-eluent, TBA+SAL<sup>-</sup>, 7% AN in H<sub>2</sub>O, pH 6.0.

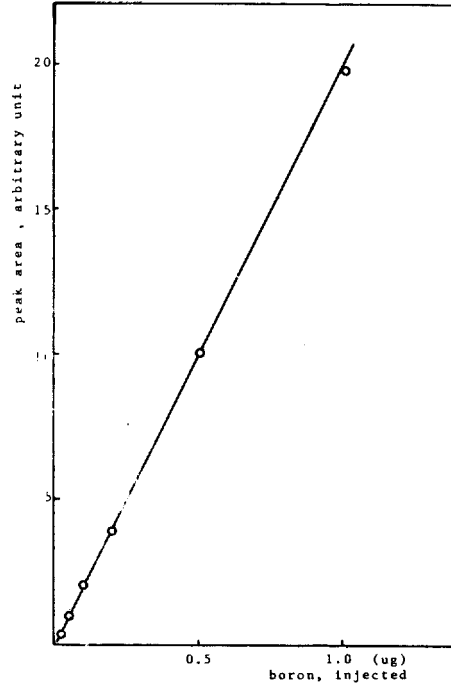


Fig. 7. Standard calibration curve for BF<sub>4</sub><sup>-</sup> by ion chromatography.

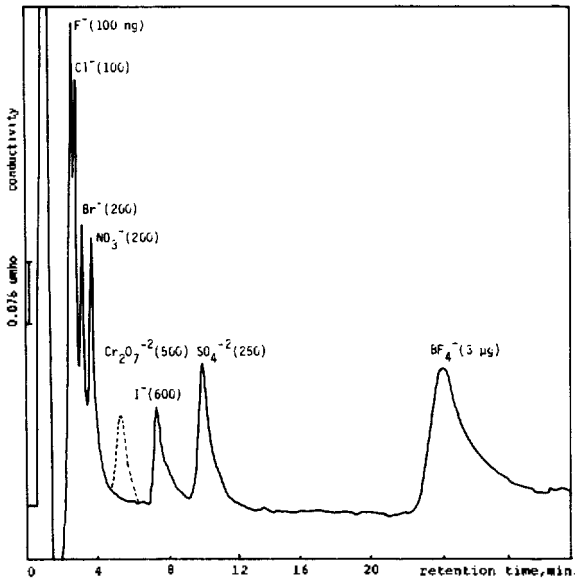


Fig. 6. Chromatogram of inorganic anions obtained from ion interaction system-column, 5 μm PRP-1 (15×0.41cm)-eluent, 3×10<sup>-4</sup>M TBA+SAL<sup>-</sup>, 7% AN, pH6.1-detection, conductivity-column temp., 22.3°C-sample injection, 20ul-flow rate, 1.0ml/min.

Fig. 2에서는 5×10<sup>-4</sup>M TMA+SAL<sup>-</sup> 용리액으로 음이온들을 분리한 예이며 첫번째 양의 피크를 k' 측정을 위한 기준 피크로 사용하였으며 다음 음의 피크는 시료 주입에 의한 용리액내의 여러 성분들의 평형이동에 의한 전도도 감소 때문으로 생각된다. 이 조건에서 30분 이내에 BF<sub>4</sub><sup>-</sup>를 분리할 수 있었다. 그리고 Cr<sub>2</sub>O<sub>7</sub><sup>2-</sup>는 I<sup>-</sup>와 산화환원 반응을 일으키므로 개별적으로 용리거동을 보였다. BF<sub>4</sub><sup>-</sup>의 분리관효율(~0.2mm HETP)이 다른 이온들의 그것(예, SO<sub>4</sub><sup>2-</sup>, 0.06mm HETP)보다 좋지 않은 것은 BF<sub>4</sub><sup>-</sup>의 큰 소수성에 의해 CPC의 알킬그룹에 흡착되는 것으로 생각된다. TMA+SAL<sup>-</sup>용리액의 pH 변화에 대한 k'를 측정하였는데 (Fig. 3) 대부분의 이온들이 pH4.5에서 9.5까지 큰 변화가 없었으나 Cr<sub>2</sub>O<sub>7</sub><sup>2-</sup>만은 pH 증가에 따라 k'이 증가하였다. 이것은 pH가 증가할수록 다음과 같이 Cr<sub>2</sub>O<sub>7</sub><sup>2-</sup>이 CrO<sub>4</sub><sup>2-</sup>로 변하며 또 CrO<sub>4</sub><sup>2-</sup>가 Cr<sub>2</sub>O<sub>7</sub><sup>2-</sup>보다 머무름 및 전기전도도가 증가하기 때문이다.

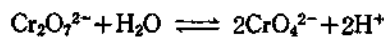


Fig. 4에서는 pH 4.5 용리액에서  $\text{BF}_4^-$ 를 제외한 다른 음이온들이 거의 바탕선으로 분리되는 것을 보여주고 있다.

#### PRP-1 Reversed-Phase/Dynamic System

Tetrabutylammonium Salicylate ( $\text{TBA}^+\text{SAL}^-$ )를 이온상호작용제로 사용하여 무기음이온들의 분리거동을 보았다. Fig. 5에서 보는 바와 같이  $\text{BF}_4^-$ 가 큰  $k'$ 를 나타내고 있으며 다른 음이온들은 모두  $0.5 \times 10^{-4}\text{M}$  근처에서  $k'$ 의 정점을 이루고 있다. 이와 같은 현상은 하전 이중층(charged double layer)을 형성하는 이온교환반응 메커니즘으로 설명되고 있다<sup>12</sup>.

용리액의 농도변화에 따른  $\text{SO}_4^{2-}$ 의  $k'$ 이 다른 이온들의 그것보다 변화가 큰 것은 앞의 흡착 분리관에서의와 같은 현상으로 생각된다.

$\text{TBA}^+\text{SAL}^-$ 의 pH를 9.0로 유지한 후 이동상의 농도변화에 따른  $k'$ 를 측정할 경우 Fig. 5와 같은 경향을 보였으나  $\text{Cr}_2\text{O}_7^{2-}$  ( $\text{CrO}_4^{2-}$ )가 보다 큰 값을 보였고 다른 이온들은  $k'$ 이 1~2정도 낮게 나타났다. Fig. 6에  $3 \times 10^{-4}\text{M}$ 의  $\text{TBA}^+\text{SAL}^-$ 에서 이들 음이온들의 분리크로마토그램을 나타내었으며 머무름 시간이 짧은  $\text{F}^-$ ,  $\text{Cl}^-$ ,  $\text{Br}^-$ ,  $\text{NO}_3^-$ 은 분리도가 좋지 않았다. 이 조건에서  $\text{I}^-$ ,  $\text{SO}_4^{2-}$ ,  $\text{BF}_4^-$ 의 분리관 효율은 각각 0.26, 0.14, 0.25mm HETP 로써 앞의 흡착 분리관에서의 결과와 유사하게 나타났다(같은 시료양일 때).  $\text{TBA}^+\text{SAL}^-$  농도를  $6 \times 10^{-4}\text{M}$ 로 증가시켰을 때  $\text{SO}_4^{2-}$ 와  $\text{I}^-$ 의 용리순서가 교차되었으며 ( $\text{I}^-$ , ~8분,  $\text{SO}_4^{2-}$ , ~6분)  $\text{BF}_4^-$ 의 경우  $k'$ 이 증가하였다.

또 pH 9.0의  $2 \times 10^{-4}\text{M}$ 의  $\text{TBA}^+\text{SAL}^-$ 에서는  $\text{SO}_4^{2-}$ 와  $\text{Cr}_2\text{O}_7^{2-}$  ( $\text{CrO}_4^{2-}$ )가 거의 중첩되었으나  $\text{BF}_4^-$ 는 좋은 분리관효율(0.18mm HETP)을 나타내며 다른 이온들로부터 순수하게 분리되었다. 따라서  $\text{BF}_4^-$ 만을 분리하고자 할 때는 용리액의 농도를  $1 \sim 2 \times 10^{-4}\text{M}$  정도로 낮추는 것이 시간적으로 경제적이다. 따라서 봉소 정량법으로는 높은 농도( $5 \sim 6 \times 10^{-4}\text{M}$   $\text{TMA}^+\text{SAL}^-$ )의 용리액을 사용하는 흡착분리관보다 이온교환능을 쉽게 변화시킬 수 있고 비교적 낮은 농도( $1 \sim 2 \times 10^{-4}\text{M}$   $\text{TBA}^+\text{SAL}^-$ )의 용리액을 사용할 수 있는 동적계

가 보다 좋을 것으로 생각되었다.

#### 봉소정량

붕산(0.6~620mg)에 음이온( $\text{F}^-$ ,  $\text{Cl}^-$ ,  $\text{NO}_3^-$ ,  $\text{SO}_4^{2-}$ )이 0~100배 첨가된 합성용액으로부터 봉소의 회수율을 구한 결과 평균 96.1%였으며 그 상대표준편차가 각각 3.2%, 1.4%, 5.5%로 나타났다(Table 1), Fig. 7에  $\text{BF}_4^-$ 의 표준 검량곡선을 나타내었으며 봉소의 무게로 0.01~1.0 $\mu\text{g}$ 까지 좋은 직선 관계를 보이고 있고 이 방법에서 정량한계는 15ng(noise의 2배)까지 낮출 수 있었다. Fig. 8에 시료분석 결과 얻어진 크로마토그램을 나타내었으며  $1.5 \times 10^{-4}\text{M}$   $\text{TBA}^+\text{SAL}^-$  용리액을 사용하고 2ml/min 유속에서  $\text{BF}_4^-$ 의 머무름이 15분 정도로 나타났다. 특히 이 시스템에서 HF 농도가 클 경우 분리관 내부재질을 손상시키거나 큰  $\text{F}^-$  피크가 방해가 되므로 HF의 농도를 조절하여야 한다. 또한 용리액의 농도

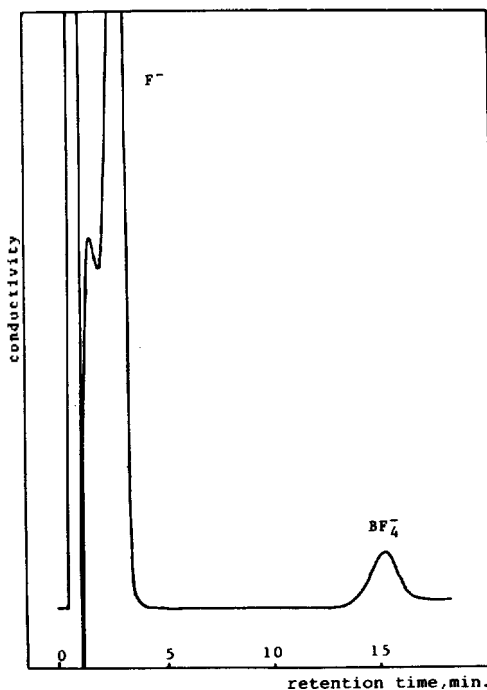


Fig. 8. Separation of  $\text{BF}_4^-$  in waste solution column, 5 $\mu\text{m}$  PRP-1 (15 $\times$ 0.41cm) eluent,  $1.5 \times 10^{-4}\text{M}$   $\text{TBA}^+\text{SAL}^-$ , 7% AN in  $\text{H}_2\text{O}$ , pH 5.8 flow rate, 2.0ml/min. detection, conductivity, sample injection, 100 $\mu\text{l}$ .

Table 1. Precisions and accuracies of boron determinations

boron injected, ng	anions added, times to boron (F <sup>-</sup> , Cl <sup>-</sup> , NO <sub>3</sub> <sup>-</sup> , SO <sub>4</sub> <sup>-2</sup> )	boron found, ng( $\bar{X}$ )	std. deviation ( $\sigma$ )	$\frac{\sigma}{\bar{X}} \times 100$
124 (n=4)	0~100	118.5	3.8	3.2
1240 (n=3)	—	1187	17	1.4
174 (n=5)	—	169	9.3	5.5

average 3.4.

Table 2. Determinations of boron in samples

sample	concentration (ppm)	
	by ion chromatogr.	by ICP
S-1 <sup>a</sup>	6.74	6.75
S-2 <sup>a</sup>	1.96	1.75
S-3 <sup>b</sup>	1.5	—
S-4 <sup>b</sup>	1.5	—

<sup>a</sup> boron carbide, determined after fusion. <sup>b</sup> boric acid in solution.

및 pH에 따라 BF<sub>4</sub><sup>-</sup> 피크 다음 음 또는 양의 피크(system peak)가 나타나므로 이 조건에서 약 1시간 기다린 후 다음 시료를 주입하는 것이 바람직하다. 고체 형태의 붕소탄화물(Boron carbide) 시료 및 붕산이 함유된 액체폐기물중 붕소를 분석한 결과 Table 2와 같이 나타났으며 고체 시료의 경우 시료를 탄산나트륨과 질산칼륨 매질에서 고온 용융한 후(~1000°C) 묽은 산으로 녹였다.

본 연구의 일부를 수행하는데 협조하여 준 캐나다 CRNL 연구소의 R.M. Cassidy와 S. Elchuk께 감사드린다.

## 인용문헌

1. Z. Iskandarani, D.J. Pietrzyk, *Anal. Chem.*, **54**, 2427-2431 (1982).
2. R.M. Cassidy, S. Elchuk, *J. Chromatogr. Sci.*, **21**, 454~459 (1983).
3. R.M. Cassidy, S. Elchuk, *J. Chromatography*, **262**, 311~315 (1983).
4. Z. Iskandarani, D.J. Pietrzyk, *Anal. Chem.*, **54**, 2601~2603 (1982).
5. Roger Neil Reeve, *J. Chromatography*, **177**, 393-397 (1979).
6. Jan Andrasko, *J. Chromatography*, **314**, 429-435 (1984).
7. Frank G.P. Mullins and Gordon F. Kirkbright, *Analyst*, **109**, 1217-1221 (1984).
8. P.R. Haddad and A.L. Heckenberg, *J. Chromatography*, **300**, 357-394 (1984).
9. C.S. Hill and R.P. Lash, *Anal. Chem.*, **52**, 24-27 (1980).
10. J. Gulens and Paul K. Leeson, *Anal. Chem.*, **52**, 2235-2237 (1980).
11. Purnendu K. Dasgupta, *Anal. Chem.*, **56**, 769-772 (1984).
12. Z. Iskandarani and D.J. Pietrzyk, *Anal. Chem.*, **54**, 1065~1071 (1982).